

II-283 “渦”に及ぼす海底海岸地形の影響に関する研究。  
(その2) リモートセンシングを用いた渦の強さの現地測定

東京理科大学 土木工学科 正員 大西 外明 ○ 西村 司

**1 はじめに** 海流や潮流が島あるいは海峡を通過する場合、その下流には剝離点で発生した渦度に満たされた自由乱流境界層が形成される。1970年代より始まる乱流の coherent構造の研究によれば、この自由乱流境界層においては、渦度が規則性を持つスケールの大きい coherentな渦に動量よく cascade up してゆくといわれている。この coherentな渦は流体の質量・運動量の輸送に大きい役割を果たすため、その挙動を把握することは極めて重要な問題である。そこで、この coherentな渦の挙動の追跡に際しては、“渦の強さ  $\Gamma$ ”を評価する事が必要となるが、従来の流速計を用いた現地測定手法によつては、この様な大スケール・非定常な渦現象の把握は困難であった。そこで、本論では、衛星写真、航空写真および Landsat からの MSS 映像を用いたリモートセンシング手法により、自然界に存在するスケールの大きい coherentな渦現象を把握し、その強さを算定する数種の手法について述べ、その適用例について報告する。

**2  $\Gamma$  の算定式** 図-1(a) は、渦度発生点 P より剝離した自由乱流境界層の平均流速分布を示す。P 点より発生した渦度が流下に際して保存されるものと看る、検査面 I を通過する渦度の flux を求める。微小部分  $dy$  を通過する流体の volume の flux は、単位時間あたり  $udy$ 、一方、単位 volume の持つ渦度は  $\omega = \frac{du}{dx}$  従って、 $dy$  部分を通過する単位時間あたりの渦度の flux は

$$\omega \cdot u dy = \frac{du}{dx} \cdot u dy \quad \text{--- (1)}$$

検査面 I を通過する単位時間あたりの渦度の flux は

$$\omega_{flux} = \int_{-\infty}^{\infty} \omega \cdot u dy = \int_{-\infty}^{\infty} \frac{du}{dx} \cdot u dy = \frac{1}{2} u^2 \Big|_{-\infty}^{\infty} = \frac{1}{2} (U_1^2 - U_2^2) \quad \text{--- (2)}$$

今、図-2(b) に示す様に、この自由乱流境界層が間隔 b 移動速度 C の coherentな渦の集まりからなっており、P 点から剝離した渦度が 100% この coherentな渦に集積しているものと仮定すると、渦 1 個あたりの強さ  $\Gamma$  は、

$$\Gamma = \omega_{flux} \cdot \tau = \frac{1}{2} (U_1^2 - U_2^2) \cdot \tau = \frac{1}{2} (U_1^2 - U_2^2) \cdot \frac{b}{C} \quad \text{--- (3)}$$

ここで  $\tau$  は coherentな渦の発生周期である  $\tau = \frac{b}{C}$   $\text{--- (4)}$

**3 Cheju 島背部の気流中のカルマン渦の強さの測定**

Cheju島は、朝鮮半島南方海上 100 km に位置する直径 70 km、高さ 2,000 m 弱の円錐形の島であり、図-3 に示す様に、大陸からの気流による後流中に、カルマン渦をもとづく雲を生成することがある。レイノルズ数が  $10^9 \sim 10^{10}$  とスケールの大きい現象である為、従来の現地観測手法による解析は困難であったが、人工衛星を用いた 2 枚 1 組の衛星写真から得た雲の面積  $a, b$  移動速度 C をもとに、カルマン渦の移動速度の関係から

$$C = \frac{2b(U-C)}{\tanh \frac{\pi a}{b}} \quad \text{--- (5)}$$

により渦の強さを求め、表-1 の  $\Gamma_1$  に示す結果を得た。しかしながら、この評価法はカルマン渦という特殊な渦列に対するのみ適用し得る式である。そこで筆者らは、

図-1

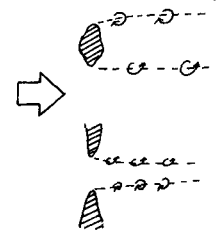


図-2

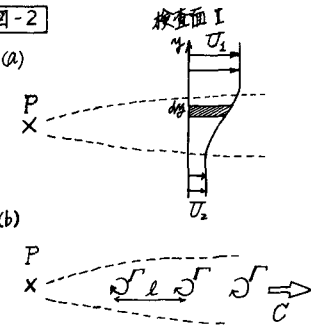


図-3

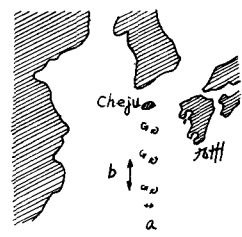


表-1

より一般的な coherent を渦に適用可能な(3)式、および前報において得られた  $\Gamma$  の算定式

$$\Gamma = U \cdot b \quad \text{--- (6)}$$

を土屋の観測結果に適用し、各々表-1の  $\Gamma_2$ ,  $\Gamma_3$  の値を得た。

表から、スケールの大きい coherent を渦の強さの評価法として、 $\Gamma_2$  の値を得た。渦度の  $\omega_{\text{flux}}$  の保存則にちりづく(3)式の適用の妥当性が示された。

#### 4 島門の渦の強さの算定

両端の陸岸の突出した地形を持つ海峡の代表的なものである。

島門海峡においては、図-4に示す様に、大別して大小二つのスケールの渦が形成される。小スケールの渦は、いわゆる“島門の渦”と称されるもので、海峡、海岸の自由潮流層中の coherent を渦であり、径十数m、発生周期数十秒のオーダーの渦である。一方、大スケールの渦は、この coherent を渦が半潮約6時間にわたって cascade up して生じた径1~2km 発生周期6時間の渦である。

この様な渦現象は、レイノルズ数が  $10^4 \sim 10^5$  と非常に大きくなり、従来の渦測定手法によつては測定が困難であるため、本論では航空機による写真撮影および Landsat による MSS データ収集の二種類のリモートセンシングを適用した。

##### (a) 航空写真による小スケール渦の強さの算定

写真-1は、高度800mから得られた島門の coherent を渦の航空写真の一例である。3秒間隔の2枚の航空写真から渦の間隔  $b$  移動速度  $C$  を判読し、(3)式により、“島門の渦”的強さ  $\Gamma$  として、潮流流速 6.6 ノットの時  $50 \sim 100 \text{ m}^2/\text{sec}$ , 10ノットの時  $130 \sim 200 \text{ m}^2/\text{sec}$  の値を得た。これは、前報において、(6)式あるいは渦の凹みからランキン渦立似にちりづいて得た値と良く一致している。

DATE	1969 3. 5	1969 3.17	1969 3.22	1971 1.14	1971 3.13
a km	36.8	44.0	61.3	48.8	35.4
b km	110.8	71.0	86.1	121.8	76.2
C m/sec	7.0	6.5	7.2	6.0	6.9
U m/sec	9.2	10.5	12.0	8.3	10.5
$\Gamma_2 \times 10^{-2} \text{ m}^2/\text{s}$	6.3	5.9	8.4	6.6	6.1
$\Gamma_3 \times 10^{-9} \text{ m}^2/\text{s}$	6.7	6.0	8.6	7.0	6.1
$\Gamma_4 \times 10^{-9} \text{ m}^2/\text{s}$	10.2	7.5	10.3	10.1	8.0

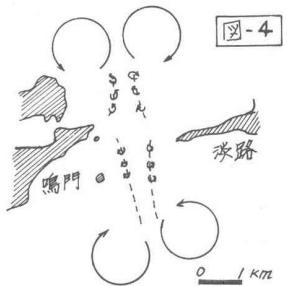
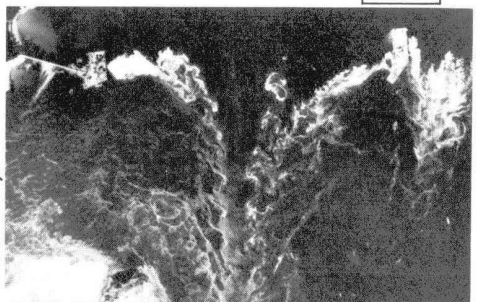


図-4

写真-1



##### (b) Landsat リモートセンシングによる大スケールの渦の強さの算定

Landsat による MSS データをもとに、島門海峡における 6 時間・数km スケールの渦を観測して得られた映像の一例を写真-2に示す。映像に見られるフロントは、図-5に示す様な左旋、右旋の一対の大スケール渦からなる渦対であり、渦対固有の自己誘導速度

$$U_v = \frac{\Gamma}{2\pi l} \quad \text{--- (7)}$$

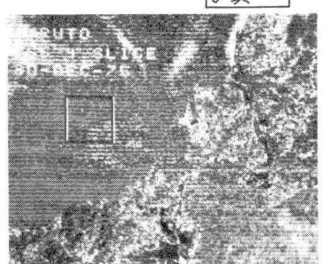


写真-2

により、播磨灘に向かって進行しているものと判読された。データ収集時の潮流状況を潮流表から求め、(3)式を半潮時約 6 時間にわたって積分した式

$$\Gamma = \int_0^{6\text{hr}} \omega_{\text{flux}}(\tau) d\tau = \int_0^{6\text{hr}} \frac{1}{2} U^2(\tau) d\tau \quad \text{--- (8)}$$

を用いて、渦の強さとして  $\Gamma = 9 \times 10^4 \text{ m}^2/\text{sec}$  の値を得た。一方、他の異なる潮流時にありする映像との比較から、 $U_v$ ,  $l$  を求め、(7)式を適用して  $\Gamma = 1.1 \times 10^4 \text{ m}^2/\text{sec}$  の値を得た。この場合、海峡部に発生した渦度の約 10% がこの大スケールの渦に cascade up したものと考えられる。



図-5

\*) Kiyoshi Tsuchiya, "Cloud Features Associated with Mesoscale Phenomena during Cold Season as Revealed by Meteorological Satellite Pictures," The Geophysical Magazine vol.37, NO.1. (1974) pp.44~94.